

XVII конференция «Математические модели и численные методы в биологии и медицине»

Институт вычислительной математики им. Г.И. Марчука Российской академии наук (ИВМ РАН)

Москва 06 2025

Сравнительный анализ безопасности ингибиторов натрий-глюкозных котранспортеров в диабете 1 типа методами байесовского мета-регрессионного моделирования

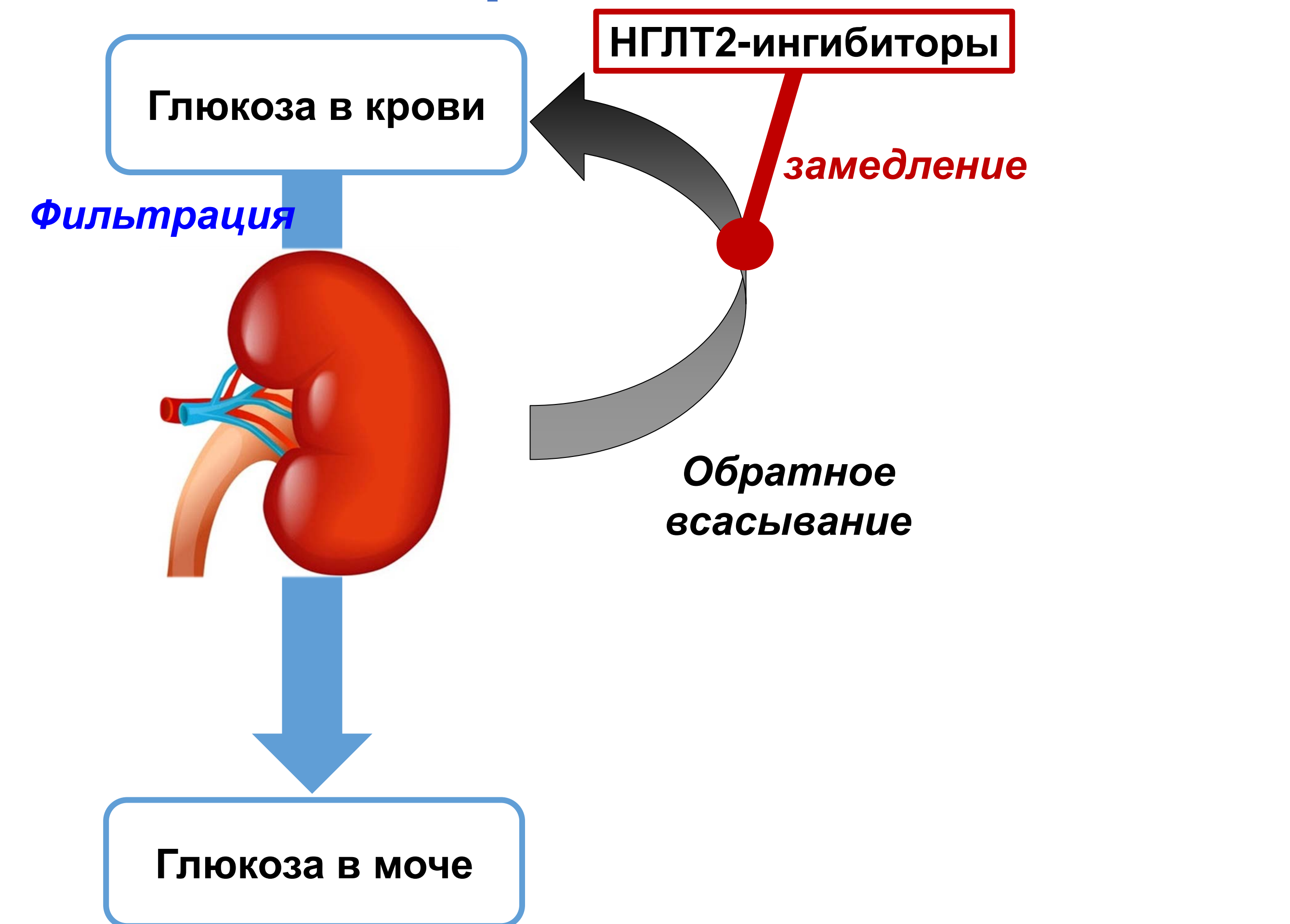
Михайлова А.А, Приходько В.А., Волкова А.А., Красова Е.К., Оковитый С.В., Песков К.В., Соколов В.В.

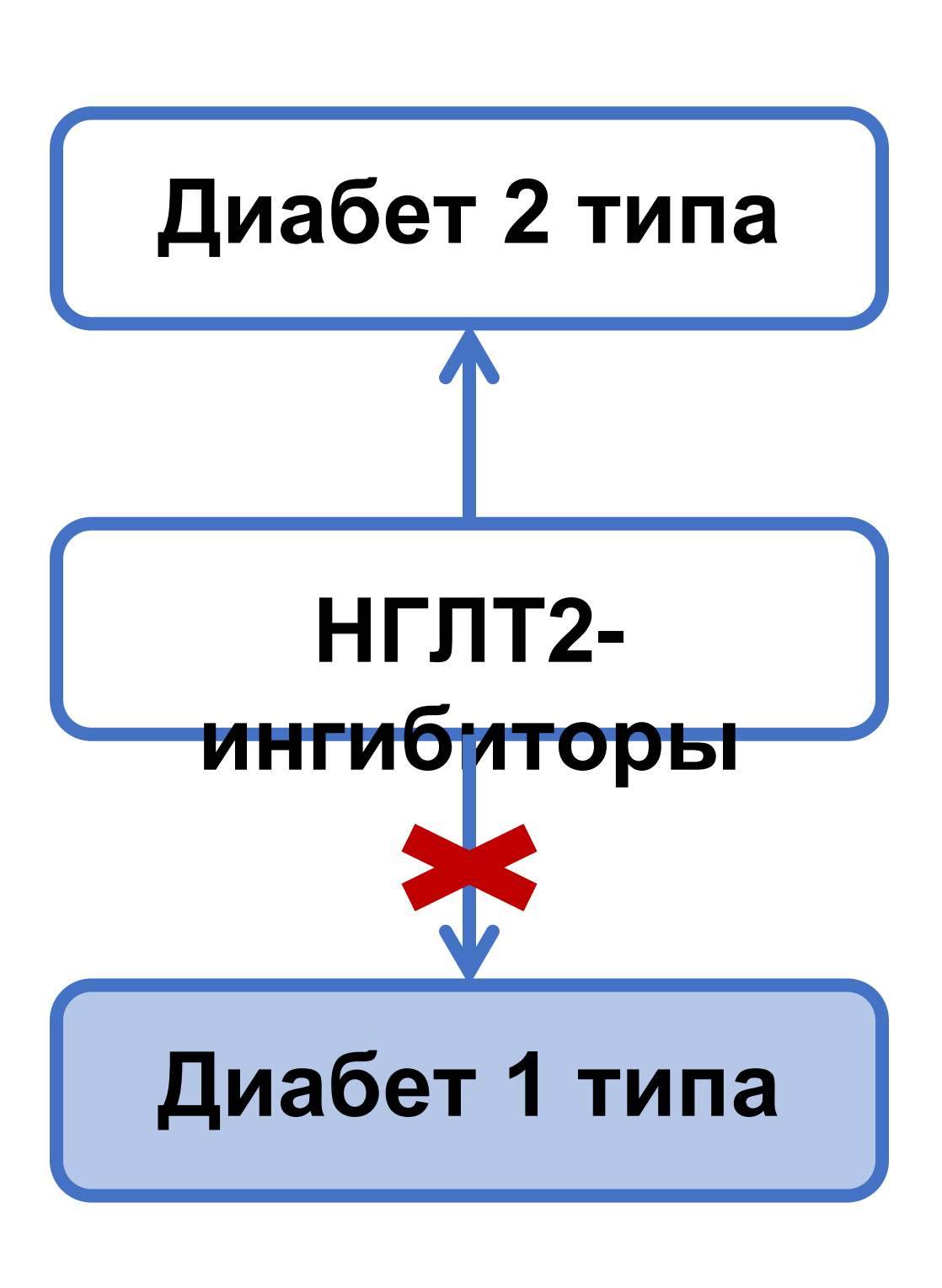
- 1 Санкт-Петербургский государственный химико-фармацевтический университет Минздрава России, Санкт-Петербург
- 2 Первый Московский государственный медицинский университет им. И.М. Сеченова Минздрава России, Москва
- 3 ООО «СимургФарм», Москва
- 4 Институт вычислительной математики им. Г.И. Марчука РАН, Москва
- 5 Научно-технологический университет «Сириус», федеральная территория «Сириус»





Необходимость анализа профиля безопасности ингибиторов НГЛТ2 в диабете 1 типа





Для оценки безопасности НГЛТ2-ингибиторов применен метарегрессионный анализ



Систематический поиск источников по PRISMA-2020

Р Популяция

Диабет 1 типа

Интервенция

НГЛТ2-ингибиторы

Инсулинотерапия +- другая базовая терапия

Сравнение

Плацебо или базовое лечение

О Конечные точки

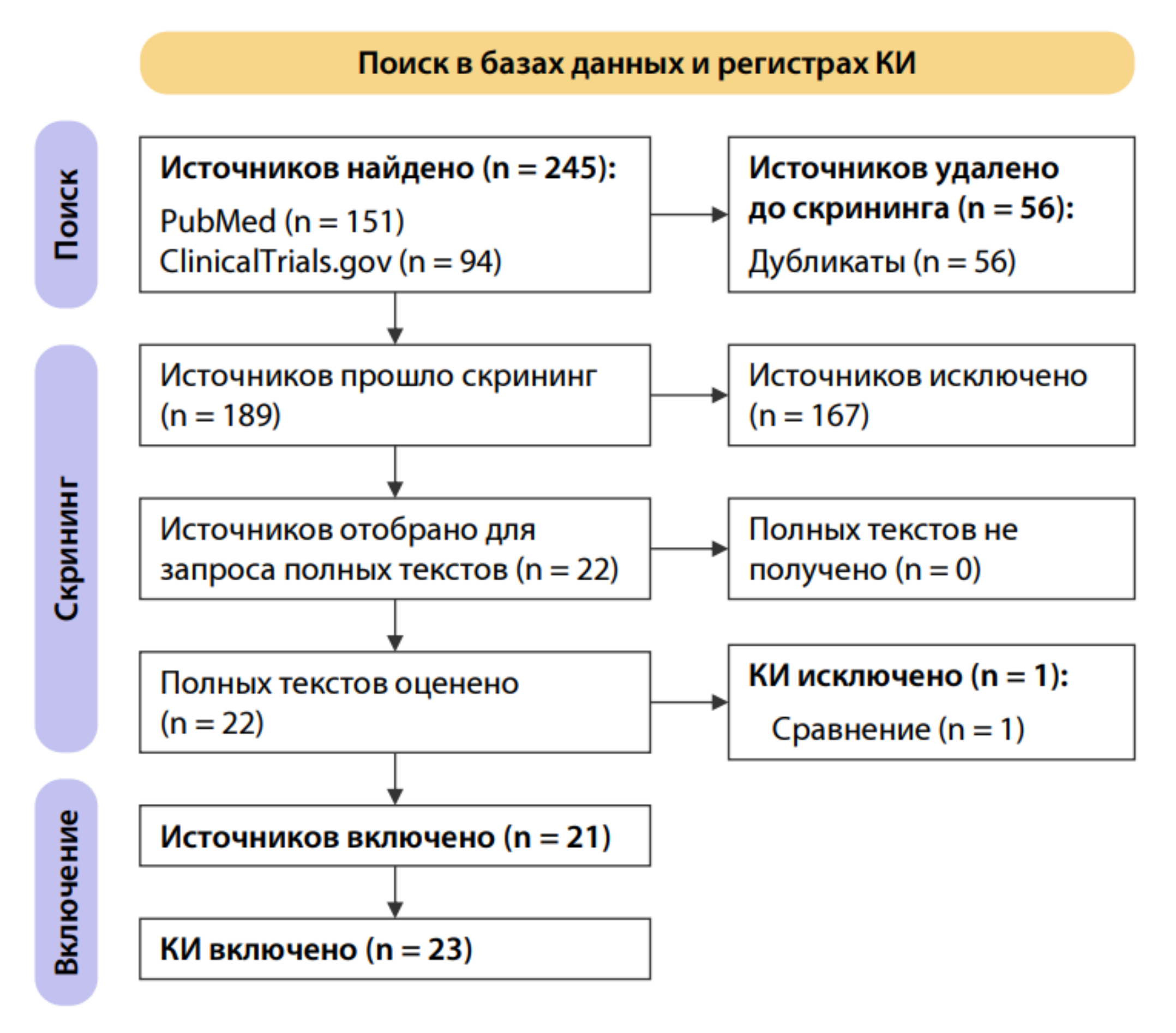
Количество нежелательных явлений

S Исследования

Рандомизированные

Плацебо-контролируемые

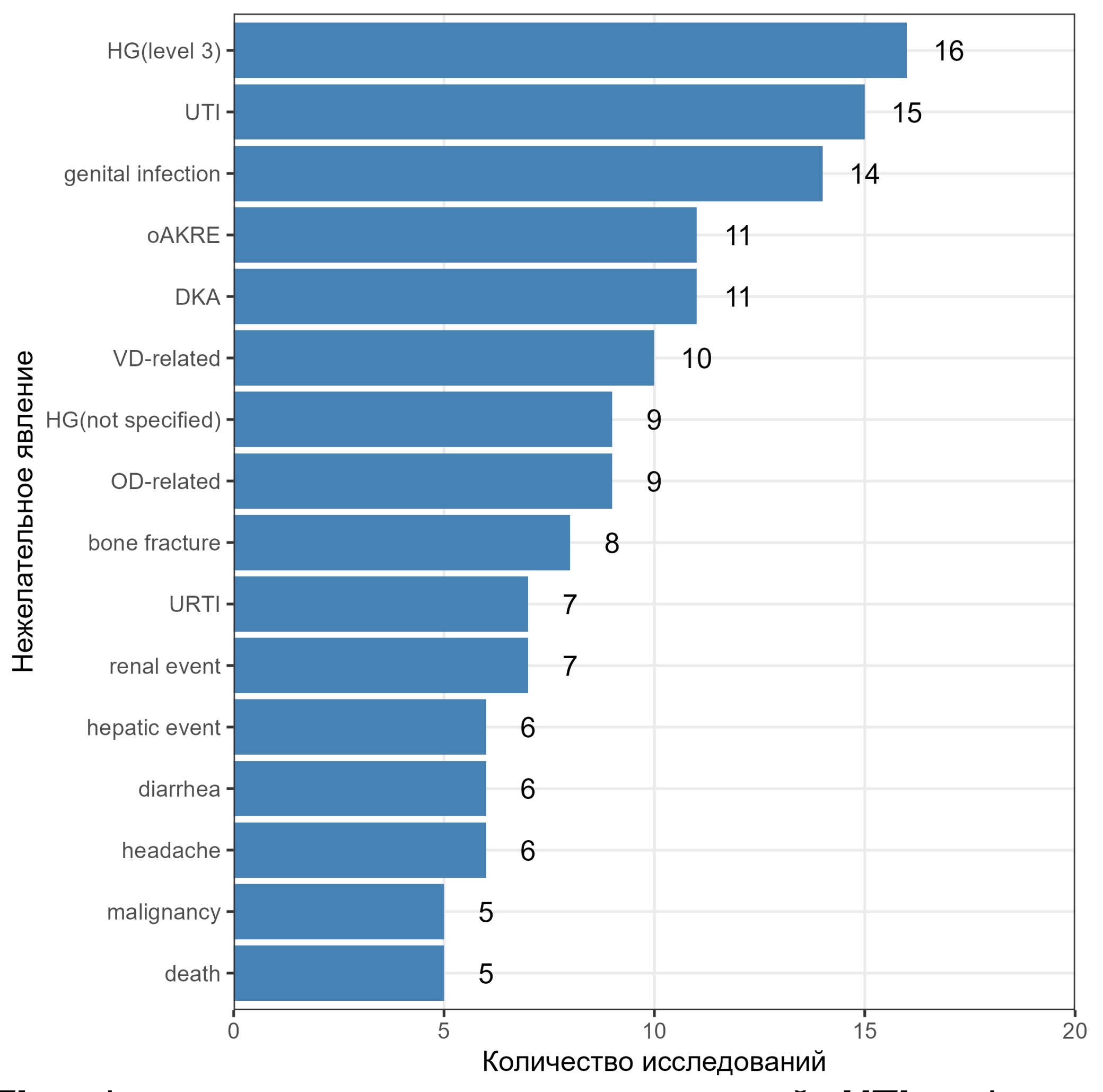
Ослепленные



Page MJ et al. The PRISMA 2020 statement: an updated guideline for reporting systematic reviews. *BMJ.* 2021;372:n71



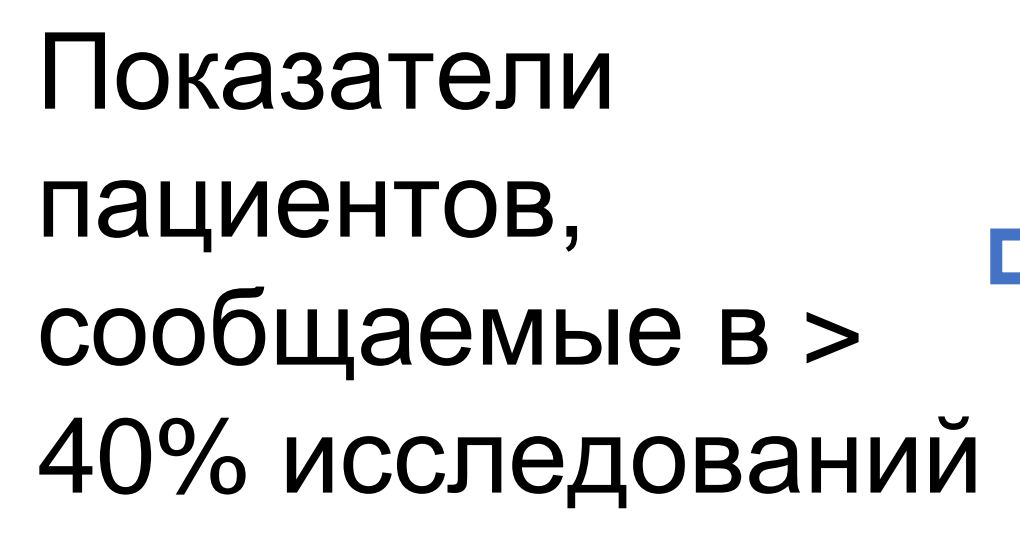
Для мета-регрессионного моделирования были выбраны нежелательные явления, информация о которых была в более чем 20% найденных исследований

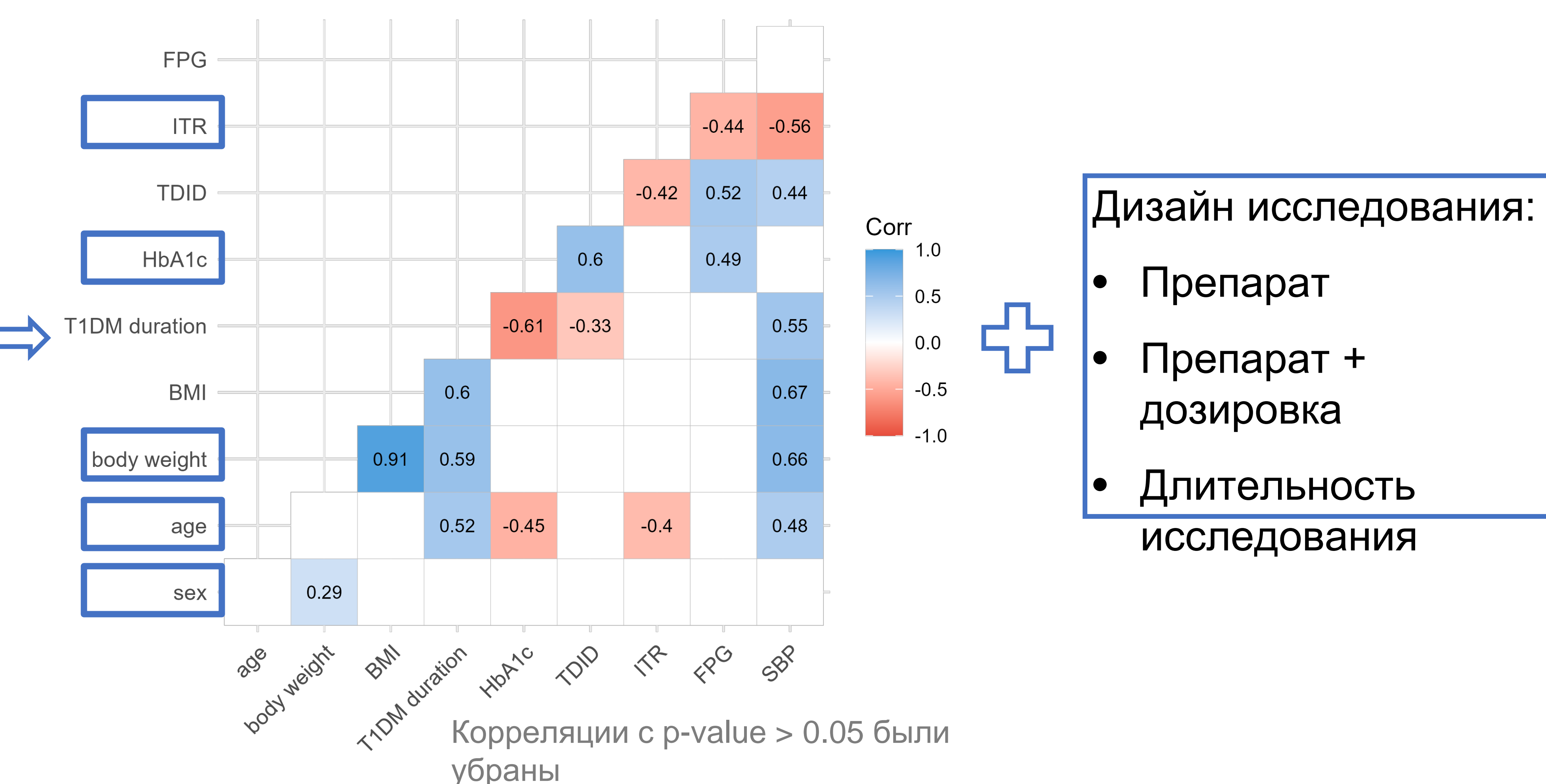


OD, осмотический диурез; *URTI*, инфекции верхних дыхательных путей; *UTI*, инфекции мочевыводящих путей; *DKA*, диабетический кетацидоз; *oAKRE*, другие реакции, связанные с кетозом и ацедозом; *VD*, истощение



8 предикторов отобраны для мета-регрессионного моделирования





T1DMD, длительность диабета 1 типа; **HbA1c**, гликированный гемоглобин; **BMI**, индекс массы тела; **TDID**, общая дозировка инсулна; **SBP**, систолическое давление; **FPG**, глюкоза натощак; **ITR**, режим инсулинотерапии



Методология мета-регрессионного моделирования

$$RR = \frac{\text{Nev}_{\text{trt}}/\text{Nsub}_{\text{trt}}}{\text{Nev}_{\text{con}}/\text{Nsub}_{\text{con}}}$$

RR — относительный риск,

 $\mathrm{Ne}v_{\mathrm{trt}}$ и $\mathrm{Nev_{con}}$ — количество нежелательных явлений в группе лечения и в контрольной группе; $\mathrm{Nsub_{trt}}$ и $\mathrm{Nsub_{con}}$ — количество пациентов в группе лечения и в группе контроля.

$$\log(RR_i) = \beta_0 + \beta_{cov} \cdot cov_i + u_i + \epsilon_i$$

Cov - предикторы (характеристики пациентов и исследования);

β – коэффициенты модели;

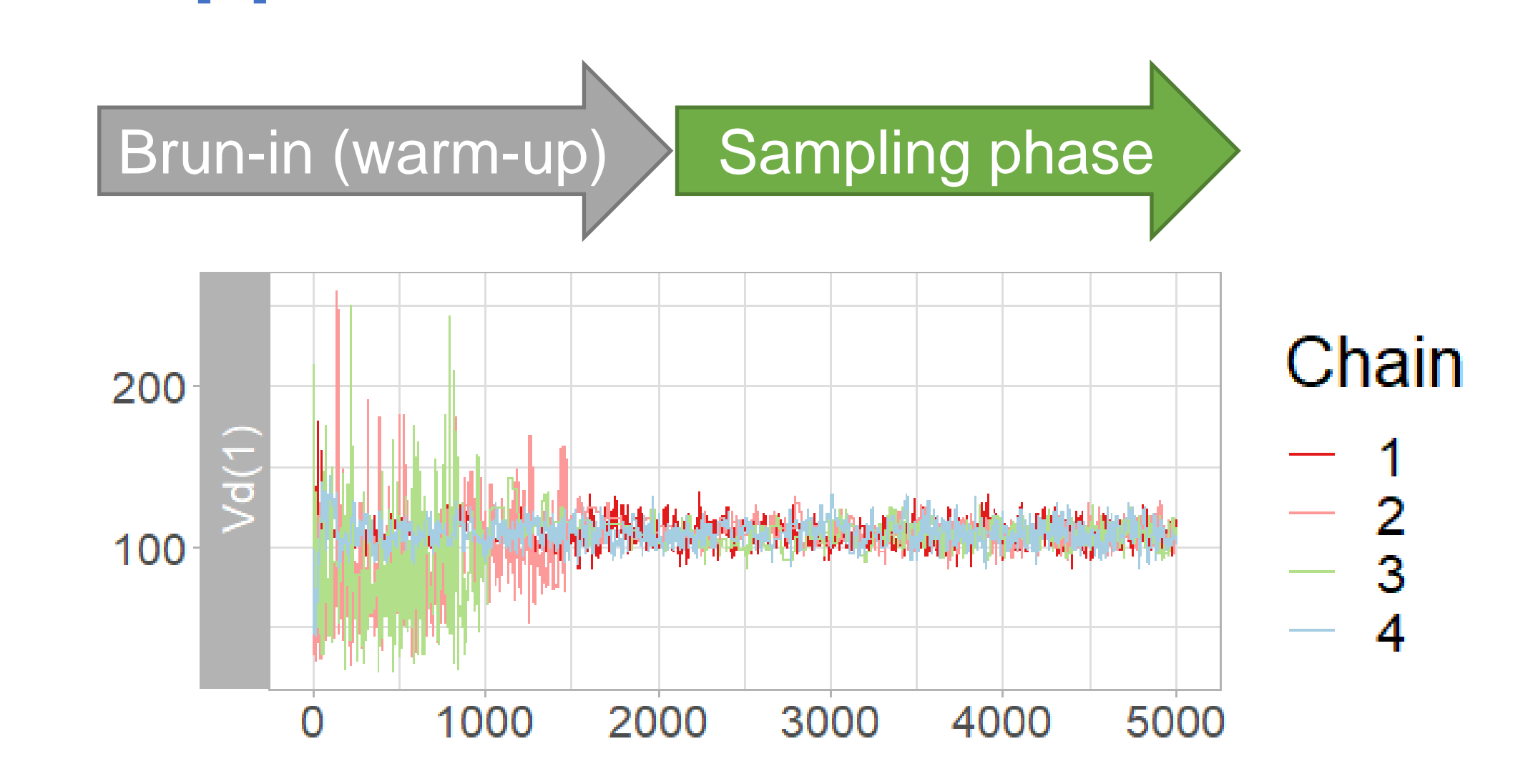
 ϵ_i — остаточная ошибка

 u_i — случайный ээфект

і — индекс исследования



Критерии отбора байесовских мета-регрессионных моделей



Соответствие данным

WAIC = -2 (lppd - pWAIC)

Где *lppd* — логарифм предсказанной плотности в наблюдаемых точках, *pWAIC* — эффективное количество параметров Аппроксимация LOO-CV Метрика LOO-CV также может быть оценена при помощи процедуры, Paretosmoothed importance sampling (PSIS)

Эффективность сэмплирования

$$N_{eff} = \frac{N}{1+2 \sum_{t=1}^{inf} \rho_t}$$
 $\hat{E} \sim N\left(E, \frac{\sigma}{\sqrt{N_{eff}}}\right)$

Где ρ_t – автокорреляция цепи со смещением на t позиций

Проверка сходимости

$$\hat{R} = \sqrt{\frac{\text{Дисперсия по всем цепям}}{\text{Средняя дисперсия внутри цепи}}}$$

С ростом N метрика должна сходиться к 1

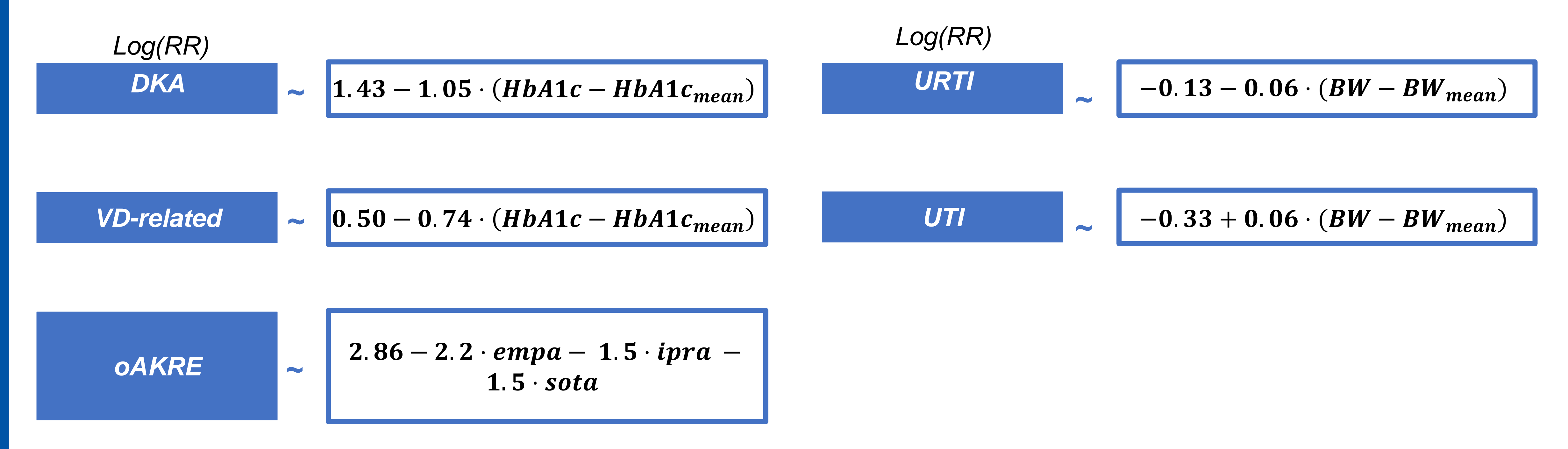
 $\hat{R} > 1.05$ — плохая сходимость цепей

Идентифицируемость коэффициентов

$$\widehat{MCRSE} = \frac{\sigma}{E \cdot \sqrt{N_{eff}}} \cdot 100\%; \ \widehat{MCRSE} < 50\%$$



Получены мета-регрессионные модели



Значимых предикторов не получено для следующих нежелательных явлений:

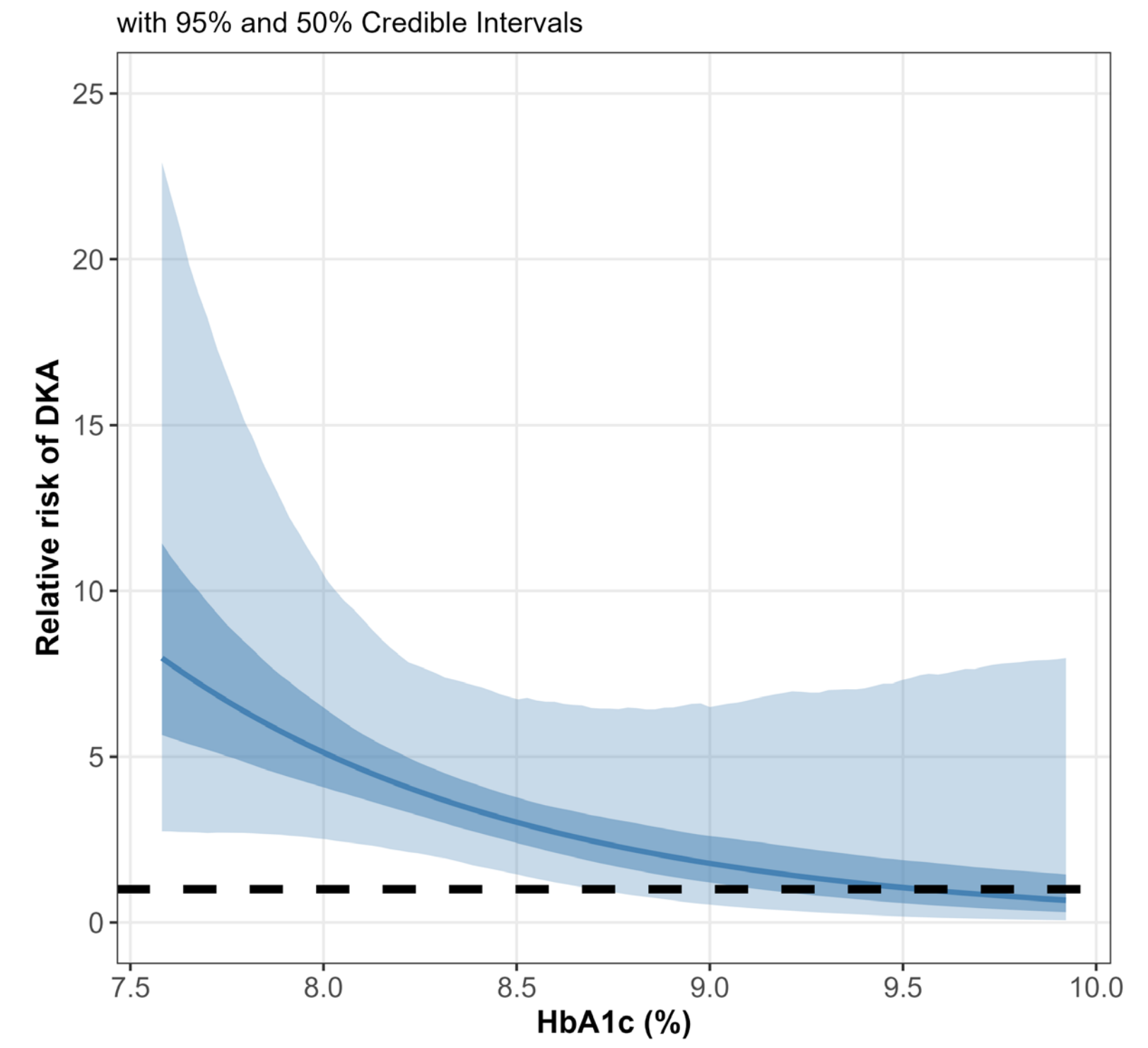
HG (not specified), HG (level 3), genital infection, OD-related, renal event, hepatic event, headache, diarrhea, malignancy, death

RR, относительный риск; **OD**, осмотический диурез; **URTI**, инфекции верхних дыхательных путей; **UTI**, инфекции мочевыделительного тракта; **DKA**, диабетический кетоацидоз; **oAKRE**, другие реакции, связанные с кетозом и ацедозом; **HG**, гипогликемия; **VD**, истощение; **HbA1c**, гликированный гемоглобин; **BW**, масса тела

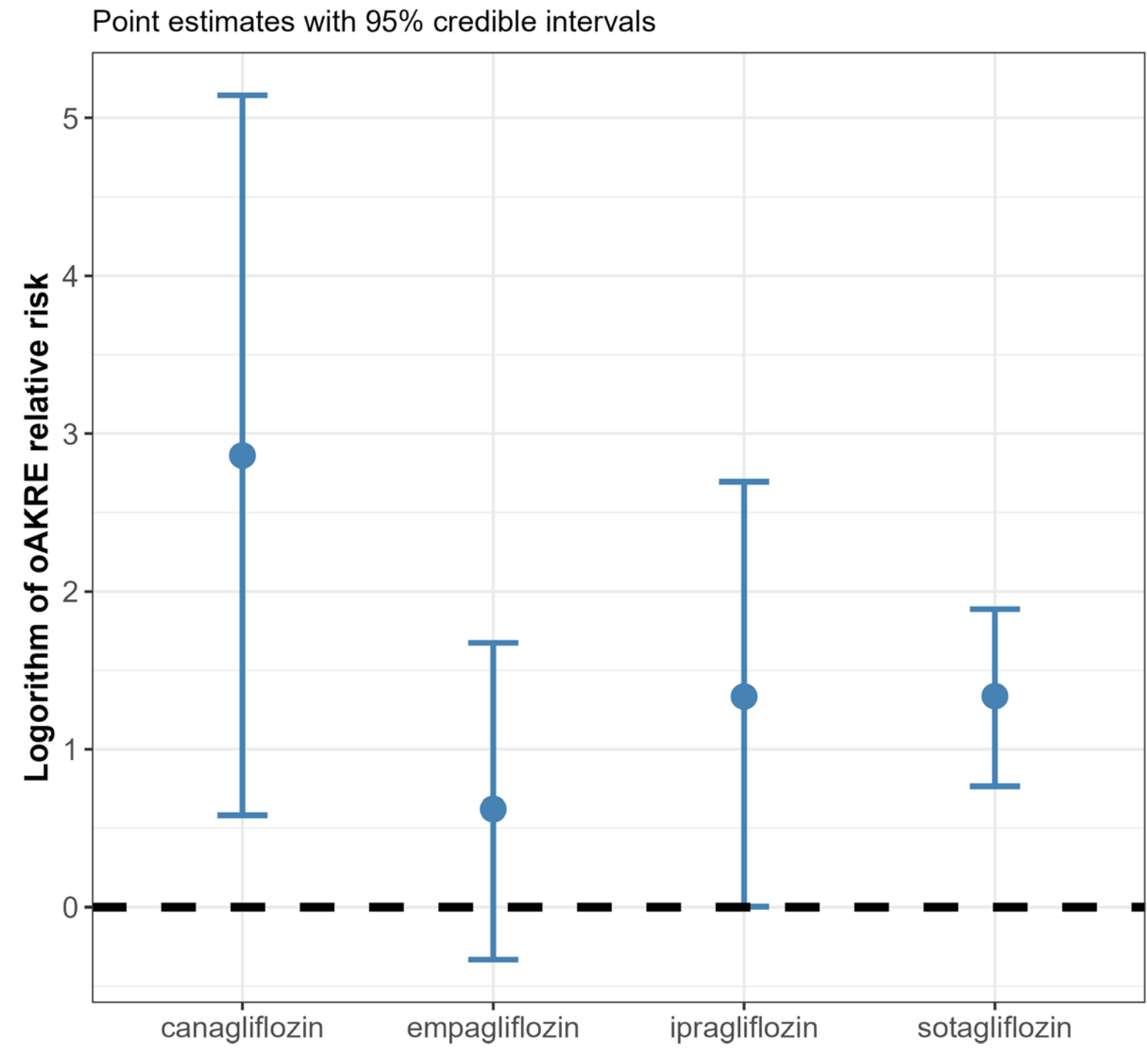


Спрогнозированные риски развития DKA и oAKRE

DKA Risk Prediction by HbA1c



oAKRE Risk by Drug Category



- Риск развития DKA при HbA1c > 8.75 не отличается между группой лечения и плацебо.
- Риск развития оАКRE повышен в 17 раз при лечении канаглифлозином и в 3.8 раз при лечении сотаглифлозином

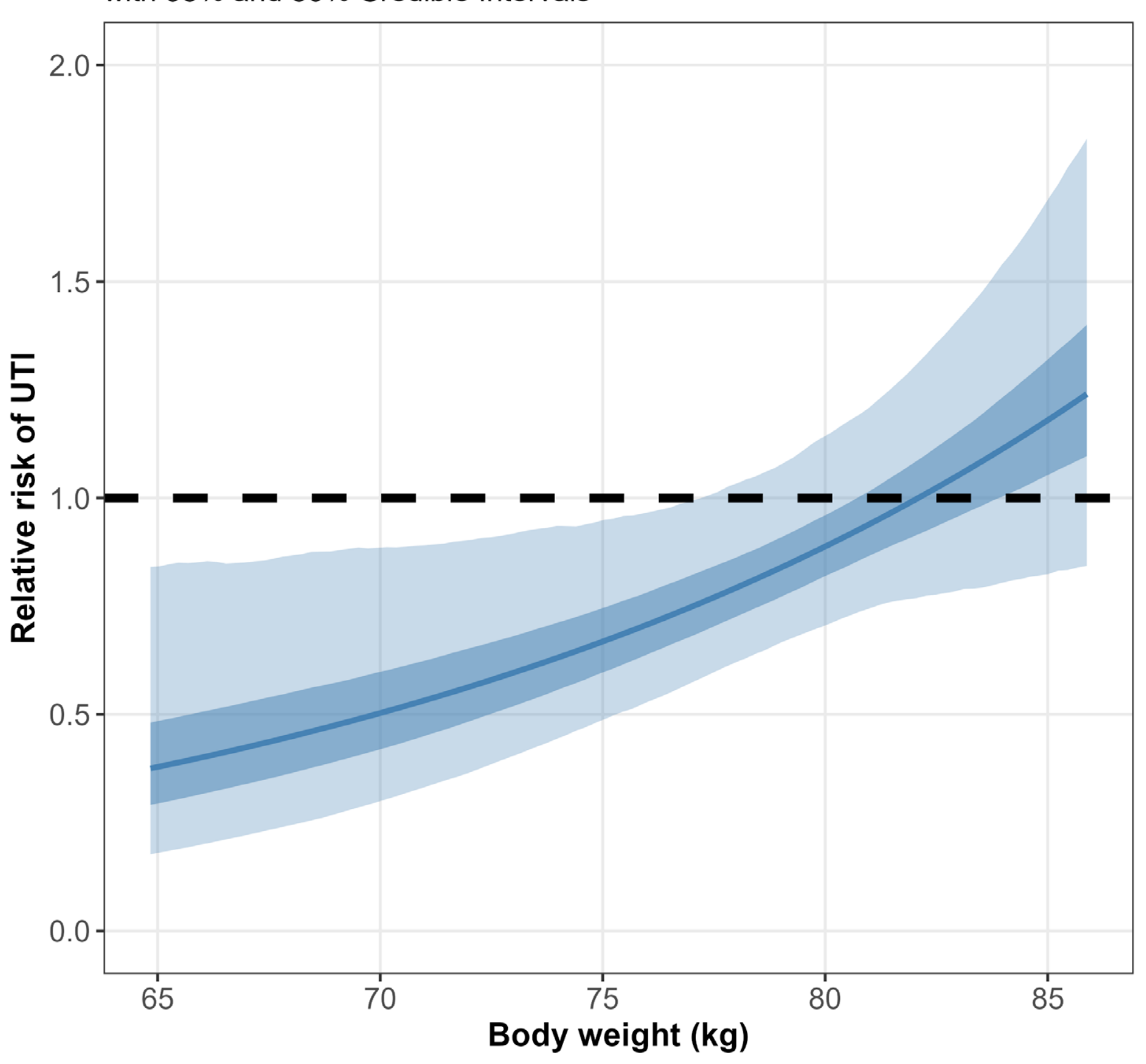
DKA, диабетический кетоацидоз; **оAKRE**, другие реакции, связанные с кетозом и ацедозом; **HbA1c**, уровень гликированного гемоглобина



Спрогнозированные зависимости рисков UTI

Body weight relatice risk prediction by body weight

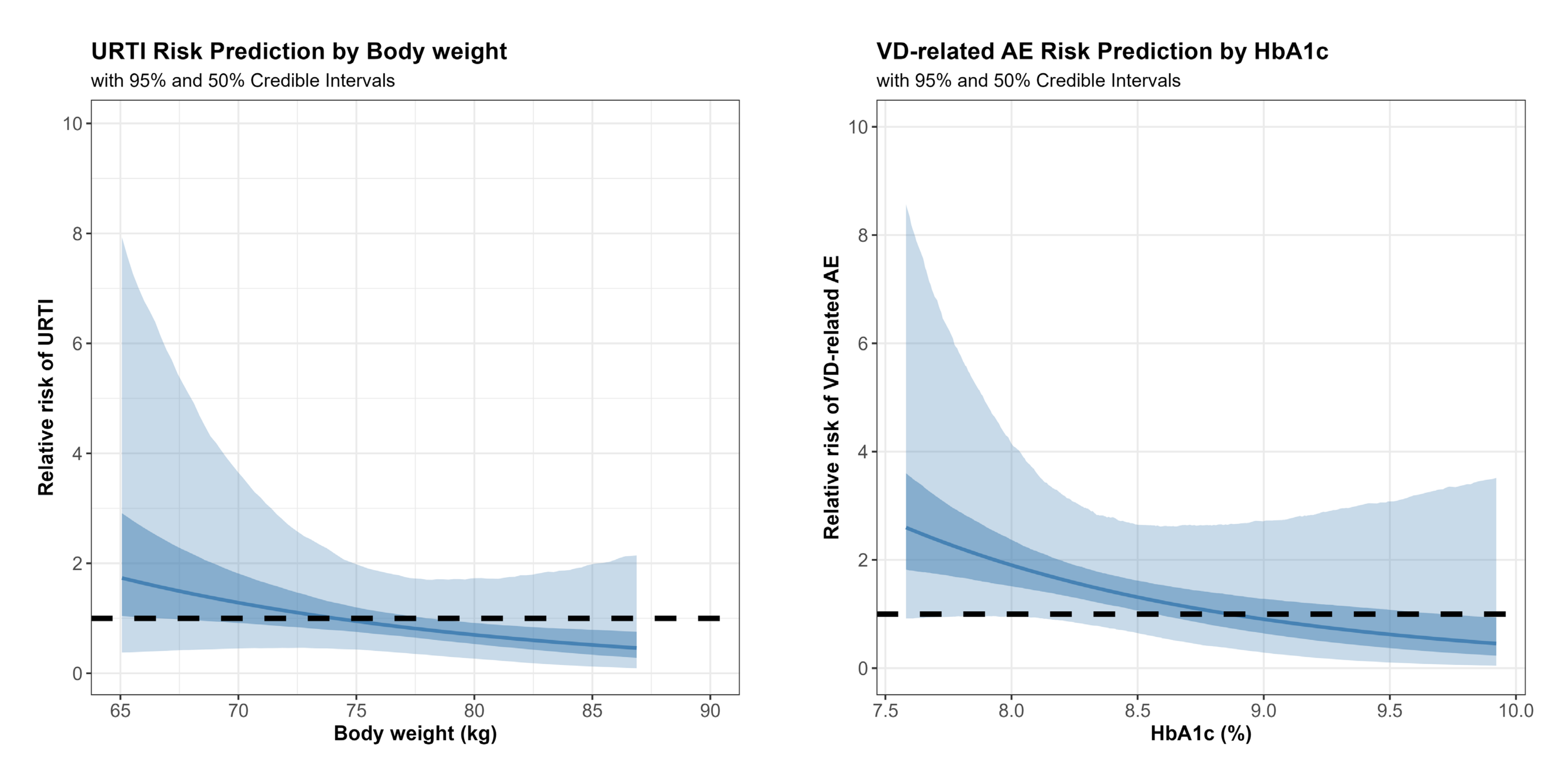
with 95% and 50% Credible Intervals



• Риск развития UTI при весе > 77.5 кг не отличается между группой лечения и плацебо.



Спрогнозированные зависимости рисков URTI и VD-related



• Клинически значимой разницы в прогнозируемых рисках не наблюдается



Найдено и проанализировано 245 источников; данные 23 КИ оцифрованы и включены в базу данных нежелательных явлений у пациентов с диабетом 1 типа, получавших НГЛТ2-ингибиторы.

Проведенный мета-регрессионный анализ показал:

- Риск развития DKA при HbA1c > 8.75 не отличается между группой лечения и плацебо
- Риск развития оАКRE повышен в 17 раз при лечении канаглифлозином и в 3.8 раз при лечении сотаглифлозином
- Риск развития UTI при весе > 77.5 кг не отличается между группой лечения и плацебо



Спасибо за внимание!

Если появились вопросы, напишите на почту: kondrashina_a_a@staff.sechenov.ru



Результаты метаанализа рисков нежелательных явлений